

## 汎用DBMSの性能評価システムについて

米田茂、山口康隆、吉田郁三（日立シ研）  
仁平博三（日立ソフトウェア工場）

### 1. 緒言

データベースを中心としたアプリケーション、システムの普及に伴ない、データベース、マネジメント・システム（DBMS）に対する評価において、機能的な要求ばかりではなく、適応性の技術、特に性能に関する評価が重視されている。特に、計算機システム建設段階で、多様なデータベース利用への対応を実現するため、DBMS性能の評価、検討を実施することが、データベース、システム構築上の必須手続きであると見做されて來ている。DBMSの性能には、システムを構成する多様な要素が密接に影響し合っているが、それらを整理すると、図1のようになる。

日立製作所においては、Adaptable Data Manager (ADM)、Practical Data Manager (PDM) の2種のDBMSを開発している。ここでは、PDMを対象として、上記データベース、システム建設に際しての基本的技術課題を解決するため開発した、性能評価システム PDM Performance Estimation and Administration Library (PEAL) について、解析モデルを中心に報告するものである。

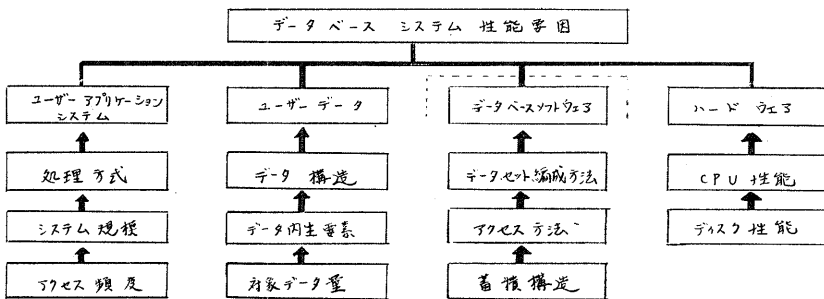


図1 データベース、システムの性能要因

### 2. 解析モデルの建設

#### 2. 1 DBMS

我々の対象としたDBMSは、マスター、データ、セット（MDS）、バリアル、データ、セット（VDS）と言う2つのデータ、セット編成方法を持つ。MDSは、アプリケーション、プログラムがキーを用いダイレクトにアクセスできるデータ、セットで、複数のVDSと接続可能である。一方、VDSは、MDSを経由してアクセスできるデータ、セットで、複数のMDSと接続可能である。

この2つの型のデータ、セットMDSとVDSとの接続を図ることによってPDMは、データ、セット間ネットワーク構造のデータベースを形成する。

以下では、今回の解析モデル構成の主対象である、MDSについて、解析モデル構成の立場から説明を行なう。

MDSは、ランダマイズ法を用いレコードをアクセスするデータ、セットである。PDMのライダマイズアルゴリズムは、指定されたキーの値に変換を施し、データ、セット中の個々のレコードの格納エリアを表す相対レコード番号（RR

N) を出力する。ランダマイズの結果、異なるキーの値が等しい RRN を持つことが発生する。これをシニムが発生したといい、ランダマイズキ法のデータ、セット編成においては、シニム、レコードの管理と、シニム、レコード格納エリアを決定するスペース管理の方法が性能上重要な意味を持っている。

### (1) シニム、レコードの管理

シニム、レコードの管理方法には、大別して、Open 方法と Chaining 方法の 2 種である。MDS では、Chaining 方法を採用しているが、通常の Chaining 方法のシニム、レコードの管理で設定されるシニム専用のオーバロ、エリアを持たない、と言う Chaining 方法の中に Open 方法の特長を併用した管理を行なっている。また、シニム、レコードを結び付けるアドレス、チェーンとしては、2 方向チェーンを有している。

### (2) スペース管理と登録処理

MDS のスペース管理は、データ、セットの各シリンドの先頭にある CCR (Cylinder Control Record) によって行なわれる。CCR には、どこから空エリアを探索すべきかという情報が入っており、空エリアの探索に際しては、CCR の示すアドレスより上昇順にシリアルに行なう。ここで CCR のスペース、ポインタが意味を持つのは、そのシリンドにシニム、レコードが 1 つ以上存在するときである。また、その時の CCR の内容は、最も新しく登録されたシニム、レコードが格納されている RRN である。

以下、MDS への登録順序を、新レコードが入るべきエリアの状態に場合分けし、それについて説明する。

- a) ホーム・アドレス (ランダマイズの結果出力される RRN のエリア) がスペース・エリアの場合。

追加すべきレコードをそのままホーム・レコードとして格納する。

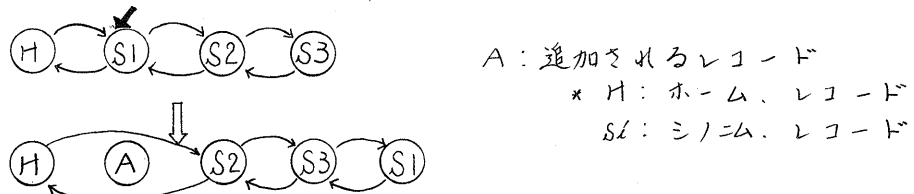
- b) ホーム・アドレスにホーム・レコードが格納されていた場合。

そのホーム・レコードを出发点とするチェーンの最後のレコード迄となり、その後に追加されるレコードを結びつける。



- c) ホーム・アドレスにシニム・レコードが格納されていた場合。

これは、追加しようとするレコード A に対して、ホーム・アドレスを求め、そこを見た時、そこをホーム・アドレスとしないレコードがすでに格納されている場合である。(図 3 参照)



ホーム・アドレスにおけるレコードを一時主メモリ上にセイブして、追加されるレコードをそのエリアにホーム・レコードとして登録する。その後、セーブしたレコードを入れるべき空エリアを探査し、その空エリアにセー

アレに、レコードを再登録し、シノニム、チェーンを更新する。

## 2. 2 解析モデル

ケーニング方法を用いたランダマイズ法の解析に關し、L.R. Johnson、Van der Pool 等種々の論文が出されている。ここでは、既に出されていランダマイズ法の解析に対し、我々の解析モデルの特徴を考えている。レコードの登録処理に関する解析モデルを、まず、ブロッキング、ファクタ (BF) が 1 の場合について説明し、任意の BF に拡張するに際しての要旨を説明する。

### 2. 2. 1 記号の定義

N: データ、セットに収容可能な最大レコード数

n: データ、セットに現在収容されているレコード数

S: ブロッキング、ファクタ ( $S = \text{レコード数} / 1 \text{ ブロック}$ )

f: ローティング、ファクタ ( $f = n / N$ )

m:  $m = f \times S$

### 2. 2. 2 BF = 1 の解析モデル

解析モデルは、アプリケーション、プログラムよりレコードの追加要求が発行された時、DBMS によって行なわれる平均の入出力回数を求める目的とする。

#### (1) 確率空間の設定

##### (a) P 空間

N 個のアドレス、スペースを持つデータ、セットに n 個のレコードをランダマイズして格納するとする。このとき、1 個のアドレスに着目すれば、そこに k 個のレコードがランダマイズされる確率  $P_k$  は、各レコードが確率的に互いに独立に、ランダマイズされると仮定すると、

$$P_k = {}_n C_k \left(\frac{1}{N}\right)^k \left(1 - \frac{1}{N}\right)^{n-k} \quad (1)$$

と云う 2 項分布で与えられる。

よく知られているように  $n/N = f$  を一定として、 $N \rightarrow \infty$ 、 $n \rightarrow \infty$  とすると、2 項分布 (1) は、f を poisson、パラメータとする poisson 分布 (2) に漸近的に収束する。

$$P_k(f) = \frac{f^k e^{-f}}{k!} \quad (2)$$

式 (2) より明らかることは、ランダマイズ法によれば、シノニムの発生個数は、N と云うようなデータ、セットの大きさを表すようなものには独立で、f によってのみ決定されると云うことである。

式 (2) は、X を任意のアドレス、スペースにランダマイズされているレコードの数を値としてとる確率変数とし、poisson、パラメータを陽に書くと、式 (3) と表現できる。

$$P_r(f, X=k) = \frac{f^k e^{-f}}{k!} \quad (3)$$

確率分布  $P_r(f, X=k)$  の期待値  $E[X]$  は f であり、これは、1 つのアドレス、スペース当たり平均 f 個のデータ、レコードがランダマイズされていることを表す。

次に、新たに確率分布  $P'_r(f, X=k)$  を次のように定める。

$$P'_r(f, X=k) = P_r(X=k | X \neq 0) \quad (4)$$

式(4)は、 $X = \ell$  と云う条件のもとで、 $X = \ell$  となる条件付確率を表す。

$$P_r(\ell, X = \ell) = \frac{P_r(\ell, X = \ell)}{\sum_{i=1}^{\infty} P_r(\ell, X = i)}. \quad (5)$$

確率分布  $P'_r(\ell, X = \ell)$  の期待値  $E[X]$  が、1個のホール・レコード当たりの平均のシニーム・レコード・リスト長となる。

$$E[X] = \sum_{\ell=1}^{\infty} \ell P'_r(\ell, X = \ell) = \frac{\rho}{1 - P_r(\ell, X = 0)} = \frac{\rho}{1 - e^{-\rho}} \quad (6)$$

### (b) Q空間

Q空間は、P空間より直接導かれる確率空間である。

今、データマイズエントリレコードに対し、次へ操作を行なうものとする。

- ホール・レコードには1、スペース・エリアには0のラベルを付ける。
- シニーム・レコードには、シニーム・チャーニの逆方向から2、3……とラベルを付ける。
- シニーム・レコードをラベル0のつづりからエリアに移す。(図4参照)

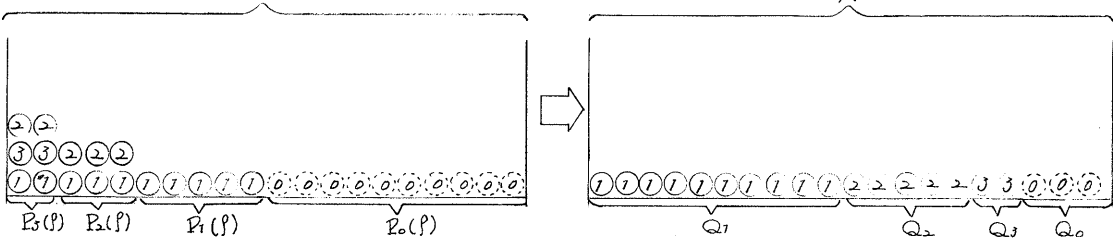


図4. Q空間の設定

前述の操作を行なった後で、Yを、任意のアドレス・スペースに割り当てられたラベルの値をとる確率変数とし、Yが値  $\ell$  をとる確率を、 $Q_{\ell}$  とすると、

$$Q_{\ell} = P_r(Y = \ell) \quad (7)$$

となる。

この  $Q_{\ell}$  は、以下の確率を表現する。

$$\left\{ \begin{array}{l} Q_0 = P_r(Y=0): \text{スペースの存在する確率} \\ Q_1 = P_r(Y=1): \text{ホール・レコードの存在する確率} \\ \sum_{i=2}^{\infty} Q_i = P_r(Y>1): \text{シニーム・レコードの存在する確率} \\ Q_{i+1} (i > 1): \text{シニーム・チャーニの後ろから数えて} i+1 \text{番目に登録されたシニーム・レコードの存在する確率} \end{array} \right.$$

図4からも推察されるように、 $Q_i$  と  $P_i$  は次式で結ばれている。

$$\left. \begin{aligned} Q_0 &= 1 - \rho \\ Q_1 &= \sum_{i=1}^{\infty} P_i(\ell) \\ &\vdots \\ Q_k &= \sum_{i=k}^{\infty} P_i(\ell) \end{aligned} \right\} (8)$$

### (c) S空間

データ・セットの先頭から、アドレスへ上昇順にシリアルに空エリアを探索する時、平均何回探索を行なえば、空エリアを見つけることができるかを考える。

又をスペース見つかる迄に必要な探索回数を表す確率変数とすると、 $k$ 回の探索でスペースを見つける確率  $G_k$  は、次の幾何分布で表現される。

$$G_k = P_{\text{e}}(Z=k) = \sigma^{k-1}(1-\sigma) \quad (9)$$

但し  $\sigma = Q_1$

式(9)の期待値が、今考えてくる探索回数を与えており、この期待値  $E[Z]$  は、次式で表現される。

$$E[Z] = \sum_{k=1}^{\infty} k G_k = \frac{1}{1-\sigma} = \frac{1}{1-Q_1} = \frac{1}{P_0(\beta)} \quad (10)$$

我々のDBMSのスペース探索は、CCRのアドレスに基づいて行われるため、探索するエリアには、シニル、レコード一般的には存在せず、上記半空間が、スペース探索回数設定の確率空間ヒストリで使用されることが分かる。また、前述の説明によると、DBMSのスペース探索の平均回数は、式(10)で表現されることが分かる。

## (2) 解析モデルの設定

$P_0$ ,  $Q_1$  各空間設定に際し行なった考察を適用し、データ追加処理手順までを図5、I/O回数の推定経過を図6に示す。

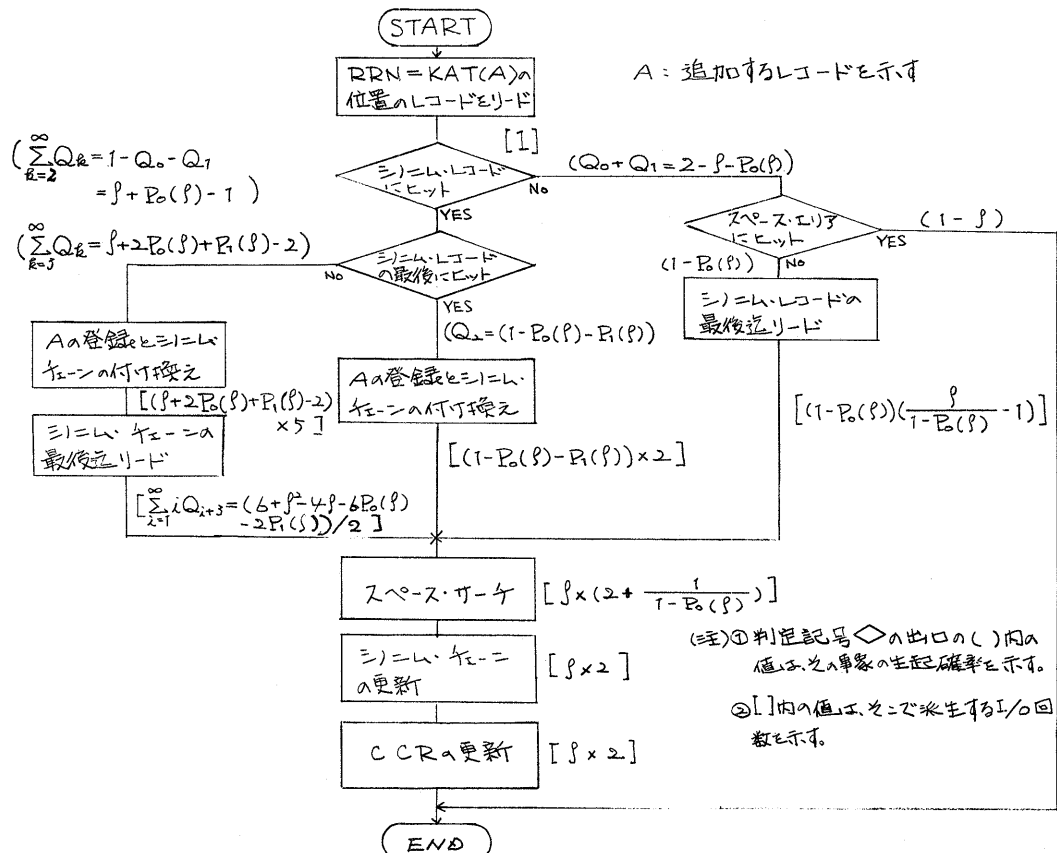


図5 MDSへのデータ追加手順とI/O回数

データ追加処理に必要なI/O回数は、図5で示した各処理区分ごとの項目を足し合わせたものになるが、これは  $\beta$  のみの関数  $f(\beta)$  として、式(11)で表現される。

$$f(\beta) = \frac{1}{2} \int^2 + 10\beta - 6 P_0(\beta) + 2 P_1(\beta)$$

$$= 4 + \frac{\rho}{1 - P_0(\beta)} \quad (11)$$

式(11)を用ひて、多量の追加処理を行ひうる場合の I/O 回数の合計  $T_A$  は、次式で求めらる。

$$T_A = \sum_{i=n+1}^{arn} f\left(\frac{i}{N}\right) \quad (12)$$

但し、 $\alpha$  は追加するレコード数

## 2. 2...3 仕様の BF の解析モデル

### (1) フィジカル I/O 回数の設定

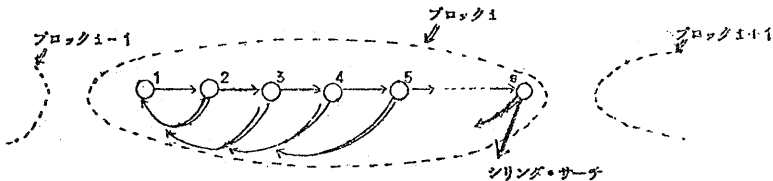
$m = \beta \times \delta$  をパラメータとする poisson 分布を基に、I/O 回数を算定す。BF の場合、任意のブロックに少なくとも 1 レコード以上、空エリアが存在する確率  $V$  は、次式で表現さる。

$$V = \sum_{i=0}^{S-1} P_i(m) = \sum_{i=0}^{S-1} \frac{m^i \times e^{-m}}{i!} \quad (13)$$

フィジカル I/O 回数算定のロジックは、 $S = 1$  の場合と殆んど同様であり。本報告では省略する。

### (2) ロジカル I/O 回数の設定

図 6 に、ブロック内スペース・サーチの手順を示す。図 6 からも推測できるように、1 ブロック中のデータ・エリアの位置する順序によって、空エリアが存在する確率に偏りがある。この偏りを反映し、ロジカル I/O 回数を見積るために、 $\beta$  を poisson パラメータとした poisson 分布を用ひる。



→ シノニム最終レコードのエリアに、空きが無かった場合、当該ブロックの先頭に戻ることを示す。

→ シノニム最終レコードのエリアに、空きが無かった場合のスペース・サーチの順序を示す。

→ 当該ブロックに空きが無かった場合、CCR の示す、エリアからスペース・サーチに入ることを示す。

図 6. ブロック内スペース・サーチの手順図

$S = 1$  の場合には、ロジカル I/O 回数 = フィジカル I/O 回数となるが、 $S \neq 1$  の場合には、この値が大きく異なっており、CPU 時間算出のため、ロジカル I/O 回数を算定する事が、解析モデルへ重要な要素となる。以下。

ここで、ロジカル I/O 回数推定解析モデルの特徴を最もよく表現しきる、スペース・サーチに際し発生する、ロジカル I/O 回数推定方法の要点について記す。

ブロックの先頭から数え之下 ( $i = 1, 2, \dots, S$ ) 番目のデータ・エリアが空である確率  $V_i$  を求める。

i)  $\delta = 1$  の空である確率 ( $V_1$ )

$V_1$ は、次の条件が満足される確率である。当該エリアに、レコードペラニダマインズで含まれている数が0で、かつ、本ブロック内の他のエリアには、高々1個しかレコードペラニダマインズでない。

$$\therefore V_1 = P_0(\rho) \left\{ P_0(\rho)^{S-1} + {}_{S-1}C_1 P_0(\rho)^{S-2} P_1(\rho) + \dots + {}_{S-1}C_{S-2} P_0(\rho) P_1(\rho)^{S-2} + P_1(\rho)^{S-1} \right\} \quad (14)$$

ii)  $\delta = 2$  の空である確率 ( $V_2$ )

$V_2$ は、次の条件が満足される確率である。当該エリアに、レコードペラニダマインズで含まれている数が0で、かつ、本ブロック内の他のエリアに高々1個しかレコードペラニダマインズでない場合、たとえば、 $\delta = 1$  のエリアの  $P_0(\rho)$  の状態で、かつ、 $\delta \geq 2$  のエリアのじかね1つに2個のレコードペラニダマインズで含まれてない他のエリアには高々1個しかレコードペラニダマインズでない。

$$\therefore V_2 = V_1 + P_0(\rho)^2 \times P_2(\rho) \times (S-2) \left\{ P_0(\rho)^{S-3} + {}_{S-3}C_1 P_0(\rho)^{S-4} P_1(\rho) + {}_{S-3}C_{S-4} P_0(\rho) P_1(\rho)^{S-4} + P_1(\rho)^{S-3} \right\} \quad (15)$$

iii)  $\delta = 3, 4, \dots, S$  も上と同様の考察によって算出可能であるが、本稿では省略する。

スペース・ザイズによつて、空エリアを探し出すために必要なロジカル / 0回数を計算する。CLRのアドレス・ポインタが、ブロック中のオフセット番目のデータ・エリアを探して不可確率を  $T_i$  とした時、Lは式(16)で表わされる。

$$L = 1 + \sum_{i=1}^S T_i \left[ \left\{ \sum_{j=1}^i \frac{\nabla_j}{\prod_{k=j+1}^i (1-\nabla_k)} \left( \frac{S\alpha}{(1-\alpha)} + \frac{1-i+\delta}{(1-\alpha)} \alpha \right) \right\} + \nabla_{i+1} \left( \frac{S\alpha}{(1-\alpha)^2} + \frac{2}{(1-\alpha)} \right) + \left\{ \sum_{j=i+2}^S \nabla_j \frac{\delta-1}{\prod_{k=j+1}^S (1-\nabla_k)} \left( \frac{S\alpha}{(1-\alpha)^2} + \frac{1-i+\delta}{(1-\alpha)} \alpha \right) \right\} \right] \quad (16)$$

$$\text{但し } L = (1-\nabla_1)(1-\nabla_2) \cdots (1-\nabla_S) = \prod_{i=1}^S (1-\nabla_i), \sum_{i=1}^S T_i = 1$$

### 3. 性能評価システムPEAL

#### 3.1 開発の目標

2章で述べた解析モデルを利用して、処理能力を推定するシステムPEALを開発している。図7に、PEAL開発に際して設定した基本目標について示す。

#### 3.2 簡略仕様

図8にPEALの全体概念図、図9に判別の流れの例を示す。

以下PEAL開発の内容について、入出力情報を中心的に説明する。

#### 3.3 PEALのインターフェット

図8に示したように、インターフェットとして(2. データベース定義情報、業務マクロ( UAP )モデル)があり、図10、図11に、定義例、UAPモデル記述例を示す。二の中でも特に重要な考え方であるUAPモデルに関する記述を示す。



るPEAL言語を説明する。

PEAL言語は、UA  
PAモデルを記述するに  
際して必要な次の機能を持ったコマンドを保持している。

- (A) データ処理の流れを表現する。CASE, LOOP, IF, GOTOなどのコマンド
- (B) 任意の段階で、処理時間推定情報を取り出し、出力するETIME, BREAKERのコマンド
- (C) UAPのプロセス

を記述するPROCESS, PDMのコマンド

図11 UA PAモデル記述例からも分かるように、PEAL言語は、FORTRANと同等の高級言語で構成されており、処理時間推定に際しては、図9で示されたように、PEAL言語を中間言語に変換し、それを解釈・実行・処理を進めていく。

## (2) アウトプット

図12のPEALアウトプット  
・リストに示すように、PEALは、①キーラクタ・モード、  
②グラフヘック・モードの2種類の情報アウトプットするこ  
とにあり、種々のDBMS利用状況に応じて

- (A) データベース処理に必要な計算機所要時間。
- (B) CPU, 磁気ディスクなど、各種計算機リソースの利用時間。
- (C) 各種計算機リソースの使用比率

および、処理能力を評価するに際し重要な情報を提供する。

また、PEALで収集する、  
磁気ディスク・アクセスの時系列情報と、既に開発が完了している適正データ・セット配置プログラム Effective File Allocation Method by Automatic Synthesis (FAMAS) に入

PLSTATE	START	INPUT=	OUTPUT=
		MDS1.MDS2.VDS1,	X
		OUTPUT=TEMP,TEMP,DB01	
	STIME	T1,T2	
	PROCESS	C=300,GET=MT00	
	CASE	(1000 P=20),(2000 P=20),(3000 P=10), X	
1000	PROCESS	C=100,GET=MT00	
	BREAKER	T=1,OPT=APCHANG=N	
	Go To	5000	
	PROCESS	C=200,GET=MT00	
2000	PDM	PROC=ADD,M,DS=MDS1,I=1,M=R	
	Go To	5000	
3000	PROCESS	C=300,GET=MT00	
	PDM	PROC=READM,DS=MDS2,I=1,M=R	
	PDM	PROC=READY,DS=VDS1,LP=MDS1LK00,I=1,X	
		M=S,V=L	
5000	CONTINUE	C=300,GET=MT00	
	BREAKER	T=2,OPT=APCHANG=N	
	END		

図11 UA PAモデルの記述例

## (Output of Character Format)

```
***** CONTENTS OF "TMR (T) *1800"
ELAPSED TIME = 21:55:13
CPU TIME = 3:12:32:40
AP = 000:00:03
PDR = 000:00:04
EAC = 002:07:16
```

```
// READ = 015:35:57/
// WRITE = 003:47:39/
// READ = 011:45:56/
// WRITE = 001:00:00/
// READ = 003:00:59/
// WRITE = 001:00:00/
// READ = 001:45:59/
// WRITE = 000:45:00/
// READ = 00091224:21/
// WRITE = 000912860
```

## (Output of Graphic Format)

```
***** CONTENTS OF "TMR (T) *1800"
ELAPSED TIME = 19:42:33
CPU TIME = 00:18:24:12
PROFESSOR TIME = 00:03:59
TRANSFER TIME = 0:1:21:13
```

```
DISK ACTIVITY OUTS = 00:18:24:12
HWT PROFESSOR TIME = 00:03:59
I/O PROFESSOR TIME = 00:00:00
```

図12 PEALの出力例

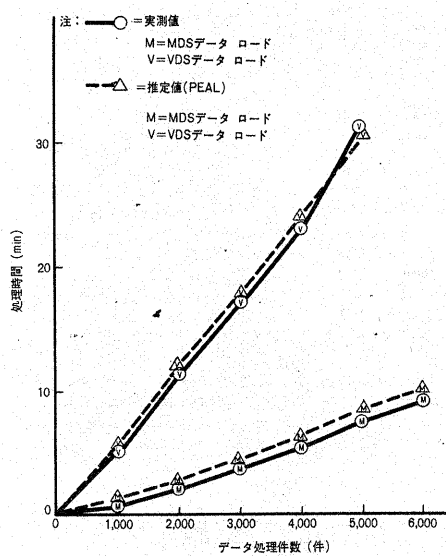


図13 PDM処理時間の推定精度　マスタ及びバリアル各データセットの初期作成(データロード)を行なうに際しての実測値データとPEALの出力結果の推定時間の比較である。

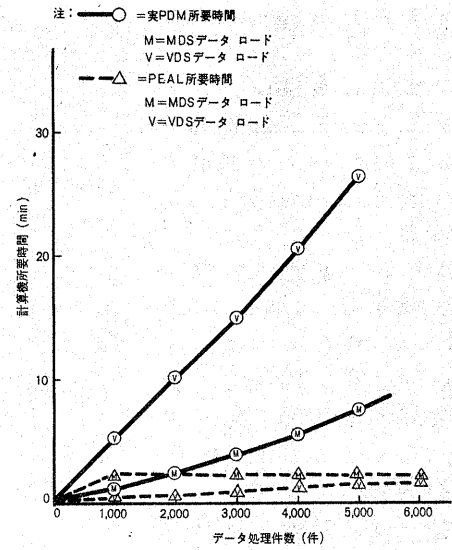


図14 PEALの計算機所要時間　PDM実データ処理の計算機所要時間と、PEALでそのモデルにおける計算機所要時間を推定する際に必要なPEAL計算機所要時間との比較を表す。

力するこゝに至る。

(a) データ・セットの適正配置に関する情報が得られる。

(b) PEAL出力結果の推定精度、および、計算機所要時間。

図13、図14にPEALと実測データとの比較結果を示す。図13では、PEALの推定精度は95%～115%に亘ってあることが分かる。また、他の種々の利用状況でも、左図と同様の結果を得ており、精度として95%～115%である、と考えられる。

図14によつて、PEAL計算機所要時間として、以下の点が把握できる。

- (a) MDSの初期作成では、データ処理件数が多い程PEALの効率が大きい。(高々1000点の代表点によつて推定処理を行なつてある理由による。)
- (b) VDSの初期作成では、PEALは実PDMのデータ処理時間の1/10程度の計算機所要時間である。

また、データベースの検索・更新処理では、PEALの計算機所要時間は、実PDMの1/20～1/30であることを確認している。

#### 4. 結言

本PEALの開発によつてHITAC-8000シリーズ用PDMの処理能力評価に關し、次の結果を得た。

- (a) オンライン、バッチ両環境における、処理能力の推定が行はれる。
- (b) 適正データ・セット配置プログラムFAMASとの結合によつてデータ・セットの適正配置情報を得られる。
- (c) 以上の結果、データベース設計の妥当性の検証が可能である。

今回説明した解析モード、性能評価ツールPEALの開発がめらかのように、データベース・システムの建設、運用段階でのシステムの性能、および、操作性の向上に重点をおくこと、その改善を続けていた。その他の性能評価の面では、シミュレータ、ソフトウェア・エキスパート、解析ツールなどの評価手法が蓄積されつつあるが、これらを通じて用意されたシステム設計手法の確立を着実に推進していく。